

**Fig. 1**  
Prior art

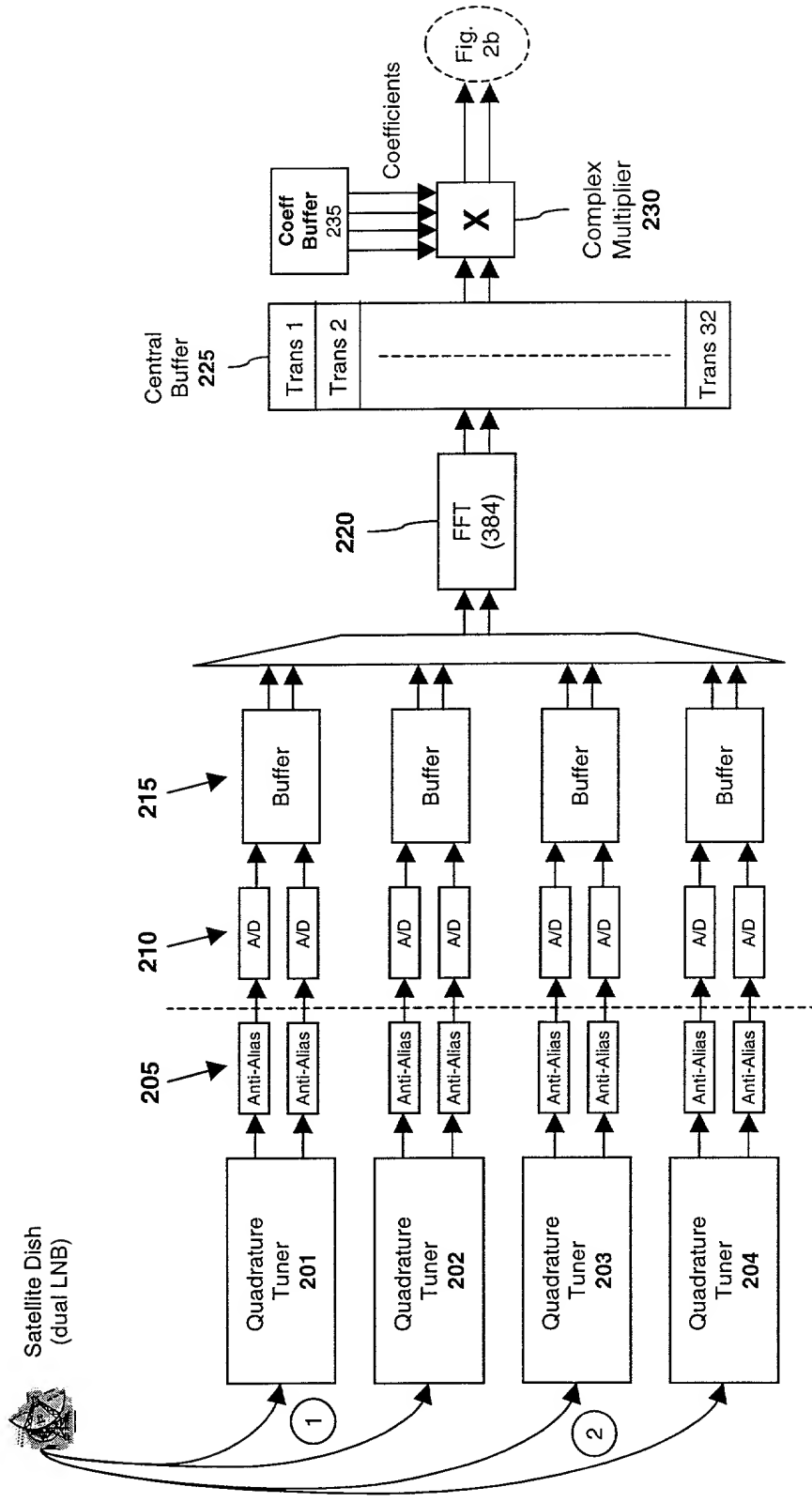


Fig. 2a

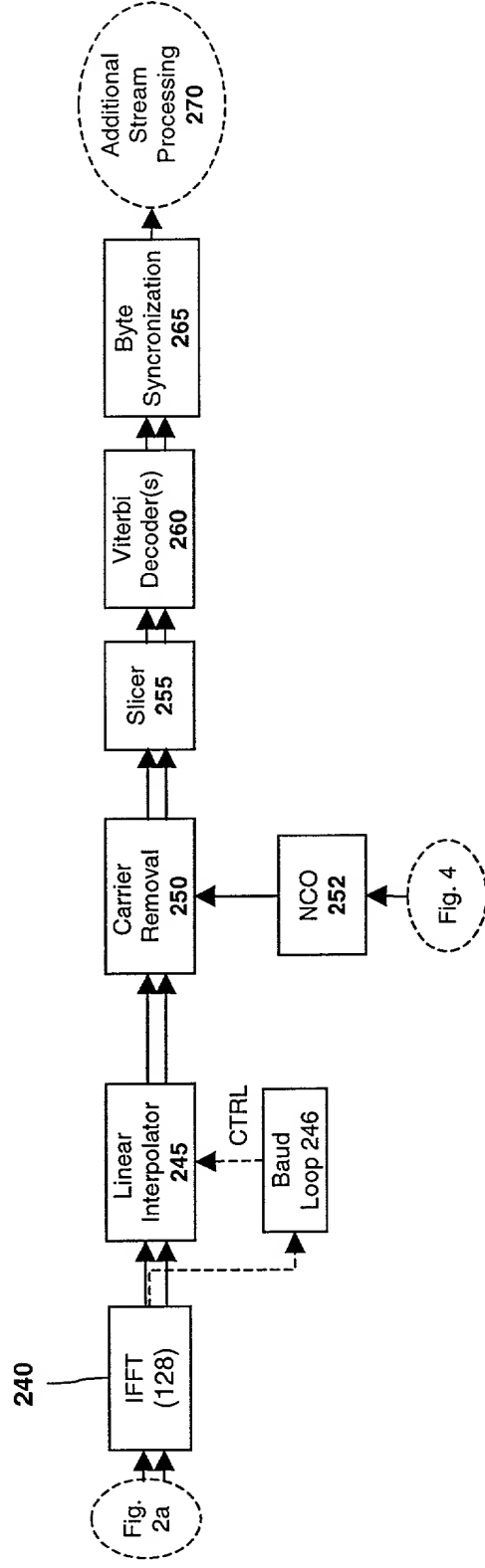


Fig. 2b

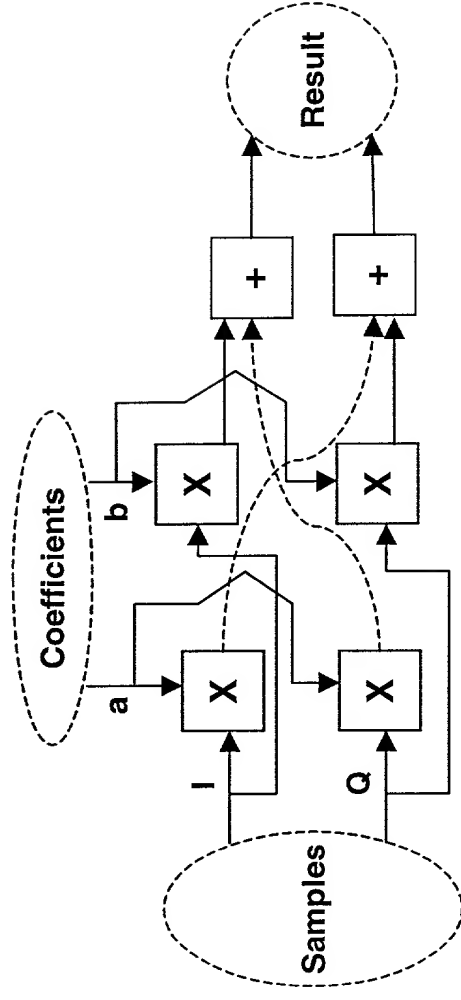


Fig. 3a

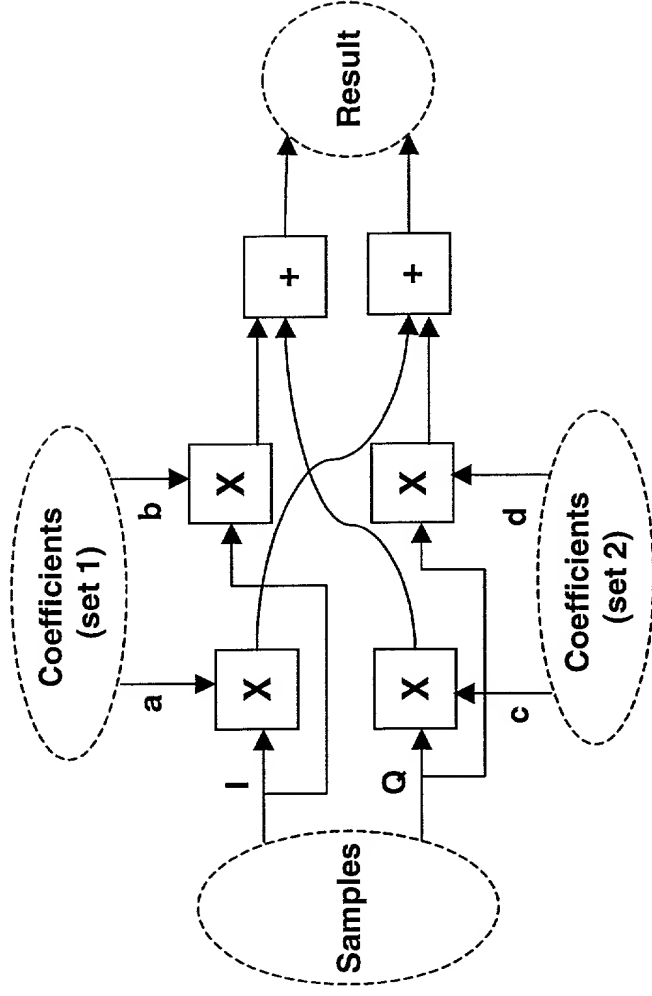


Fig. 3b

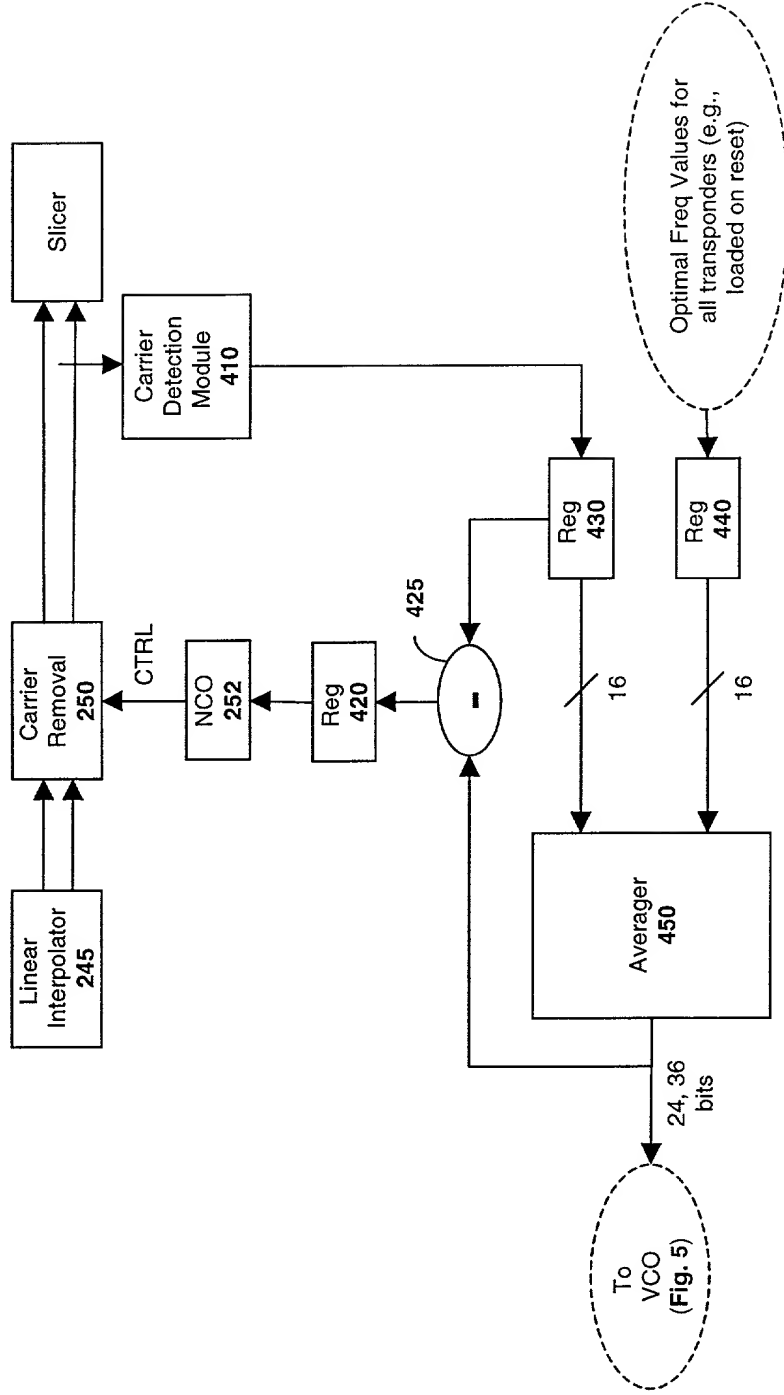
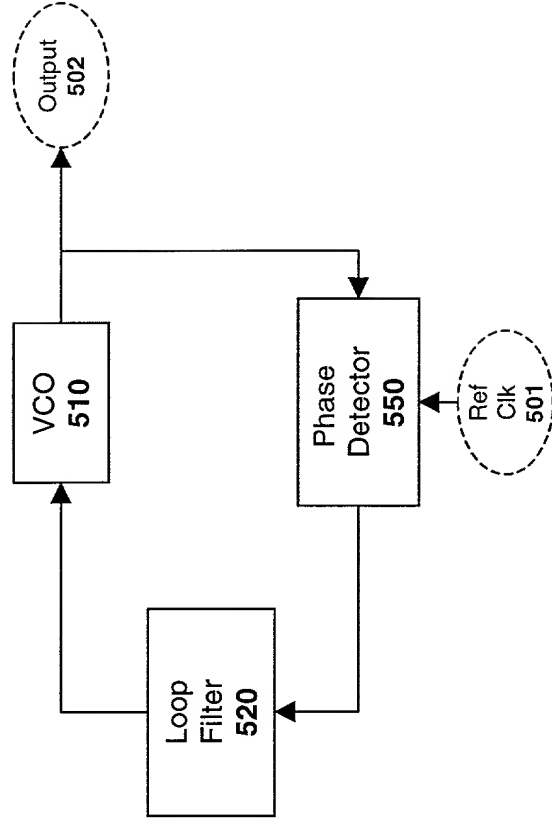


Fig. 4



**Fig. 5a**

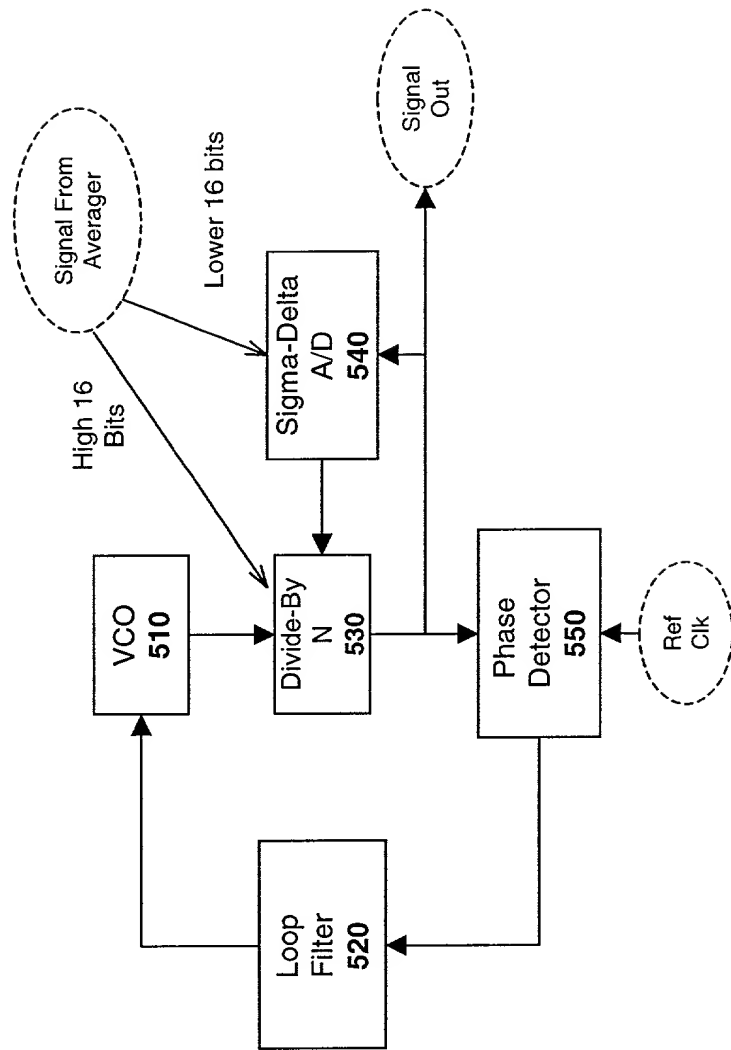
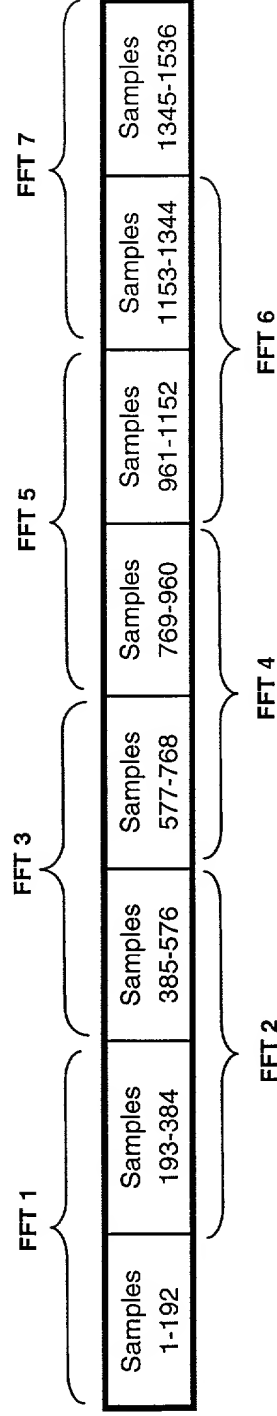


Fig. 5b





**Fig. 6**  
FFT Input Data

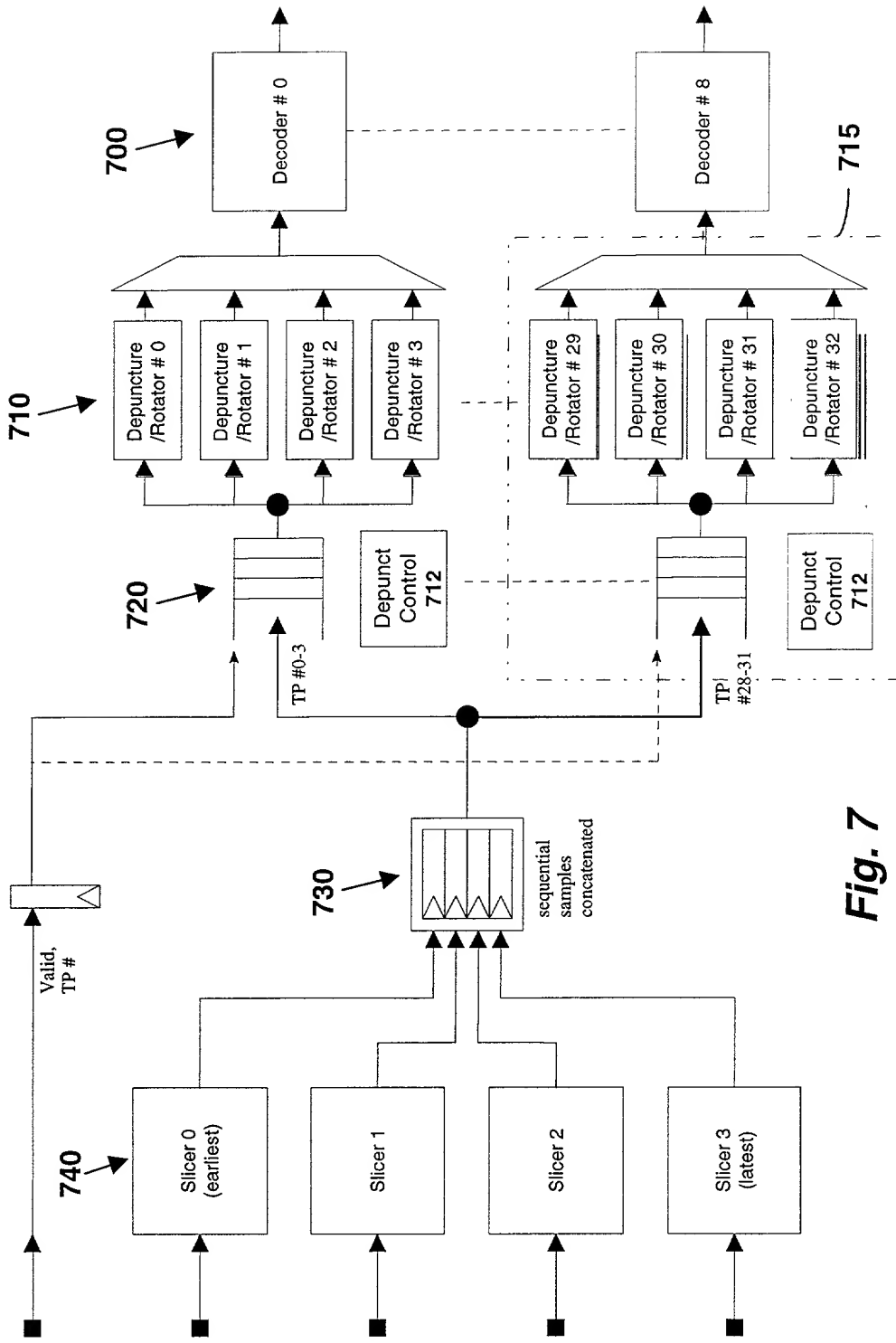


Fig. 7

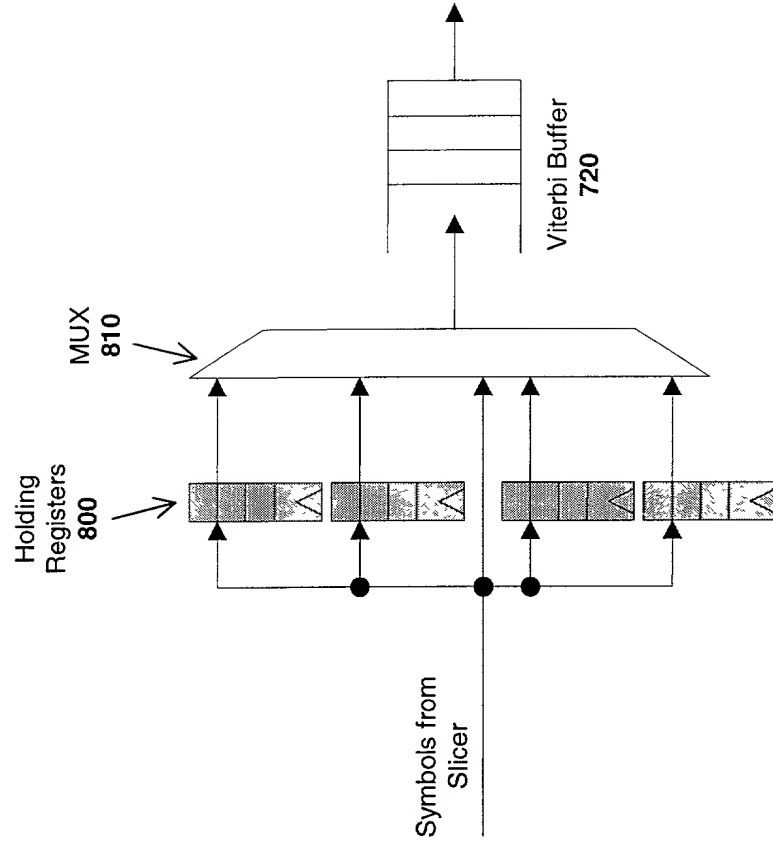
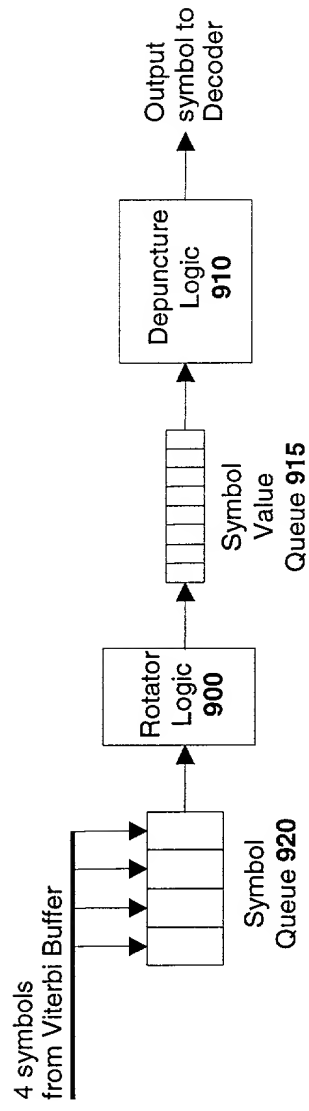


Fig. 8



**Fig. 9**

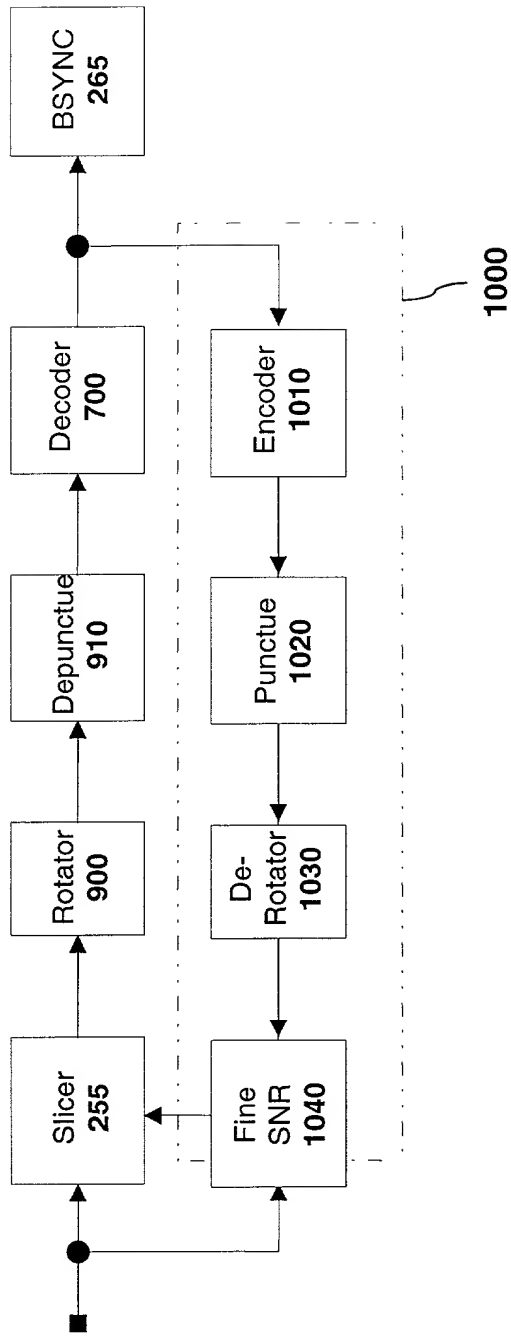
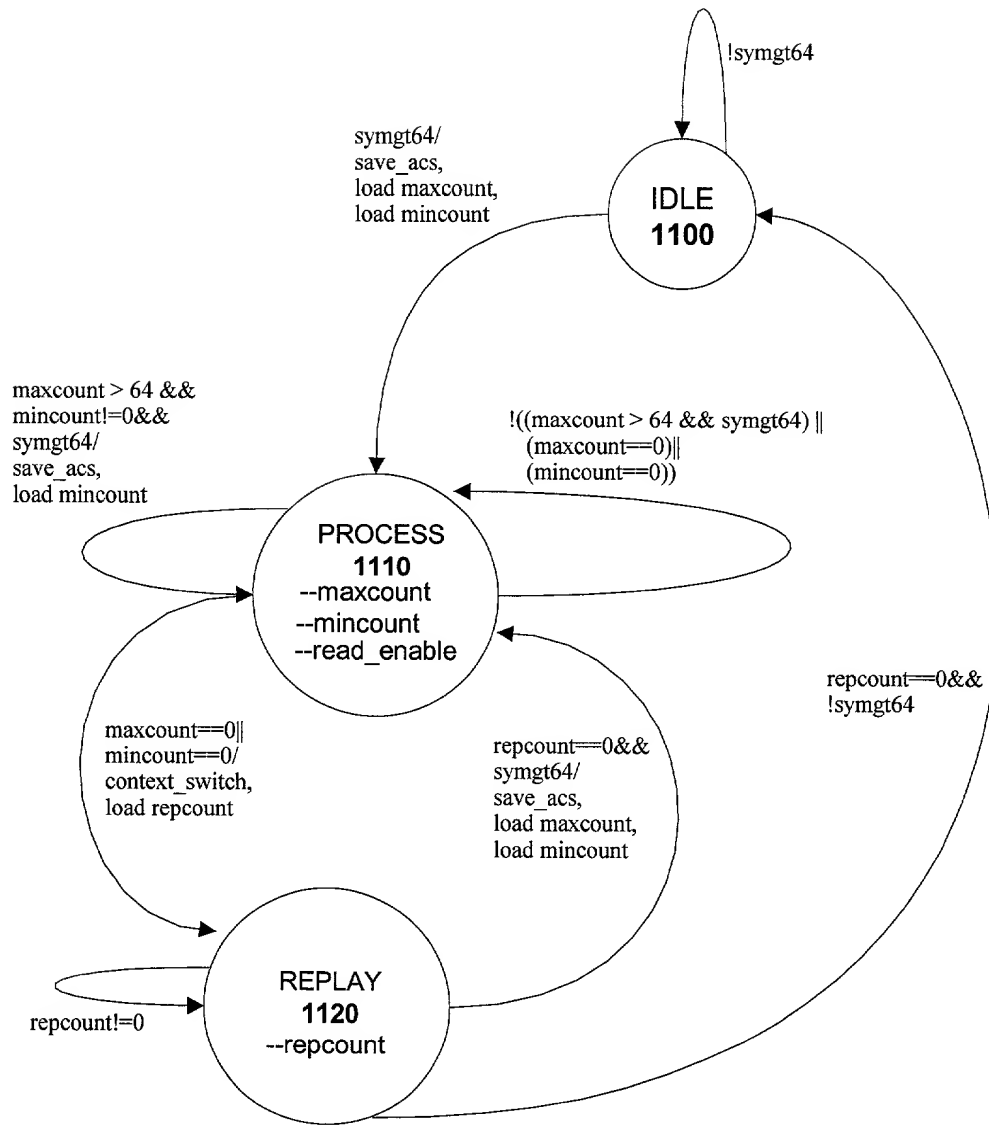


Fig. 10



**Fig. 11**

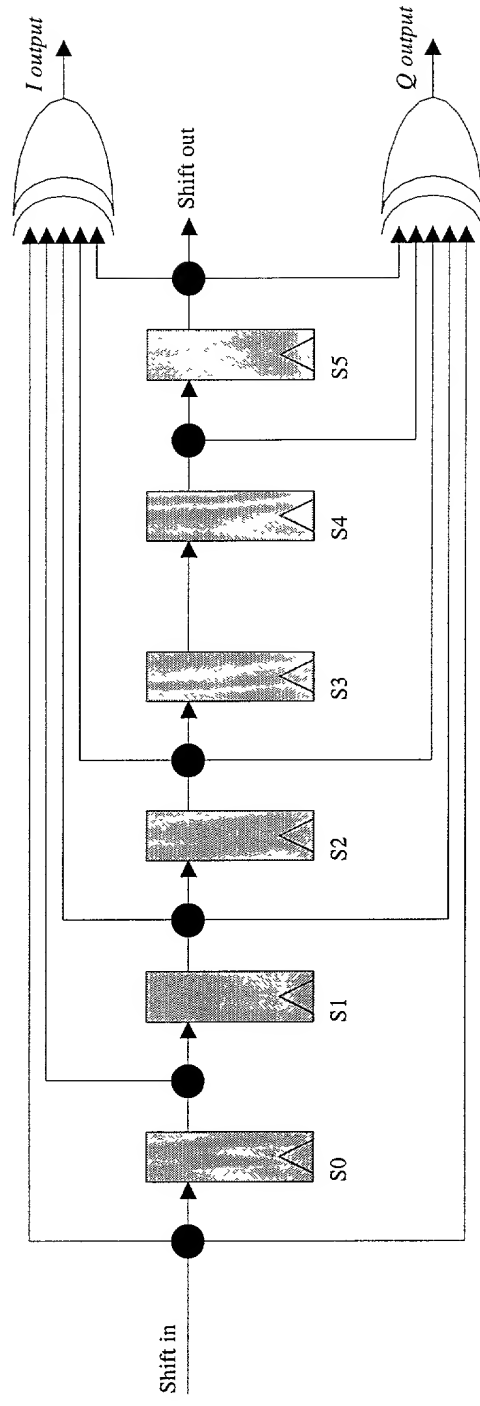


Fig. 12

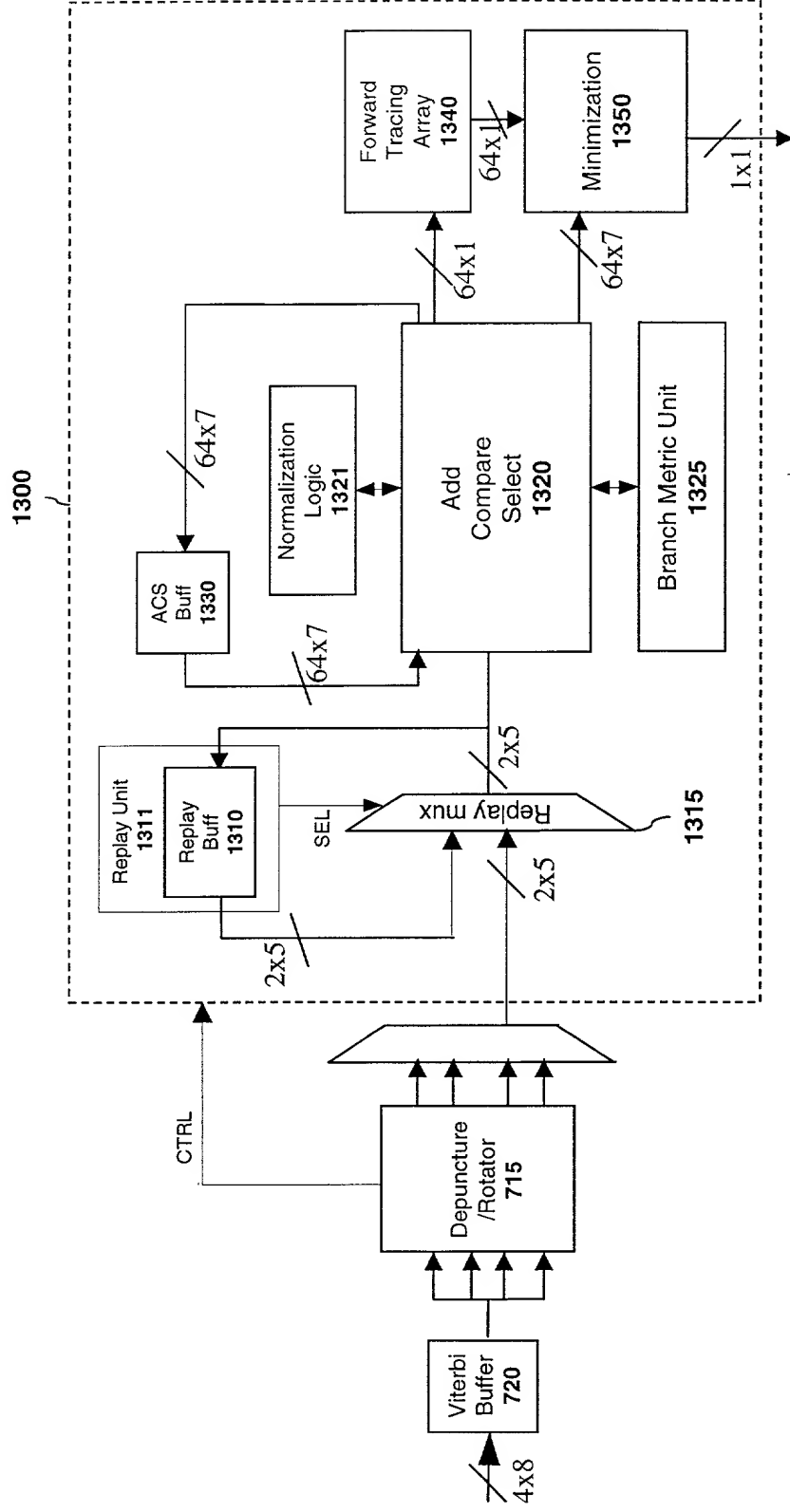
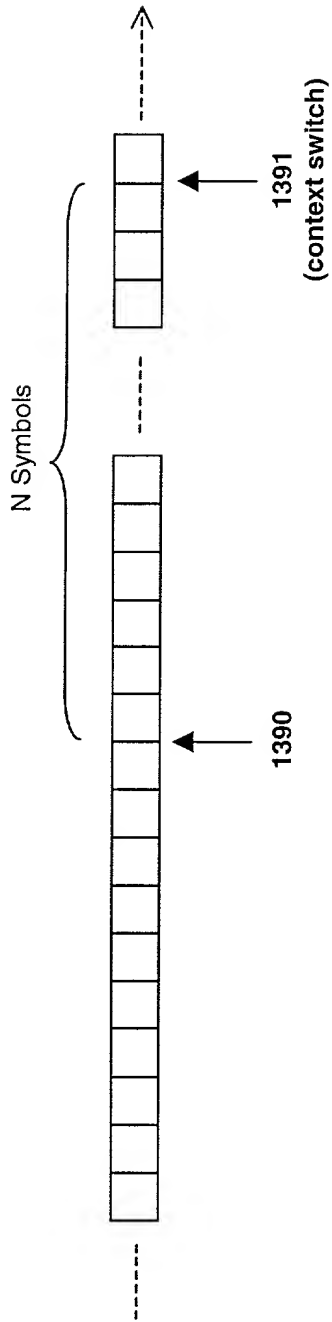


Fig. 13a





**Fig. 13b**

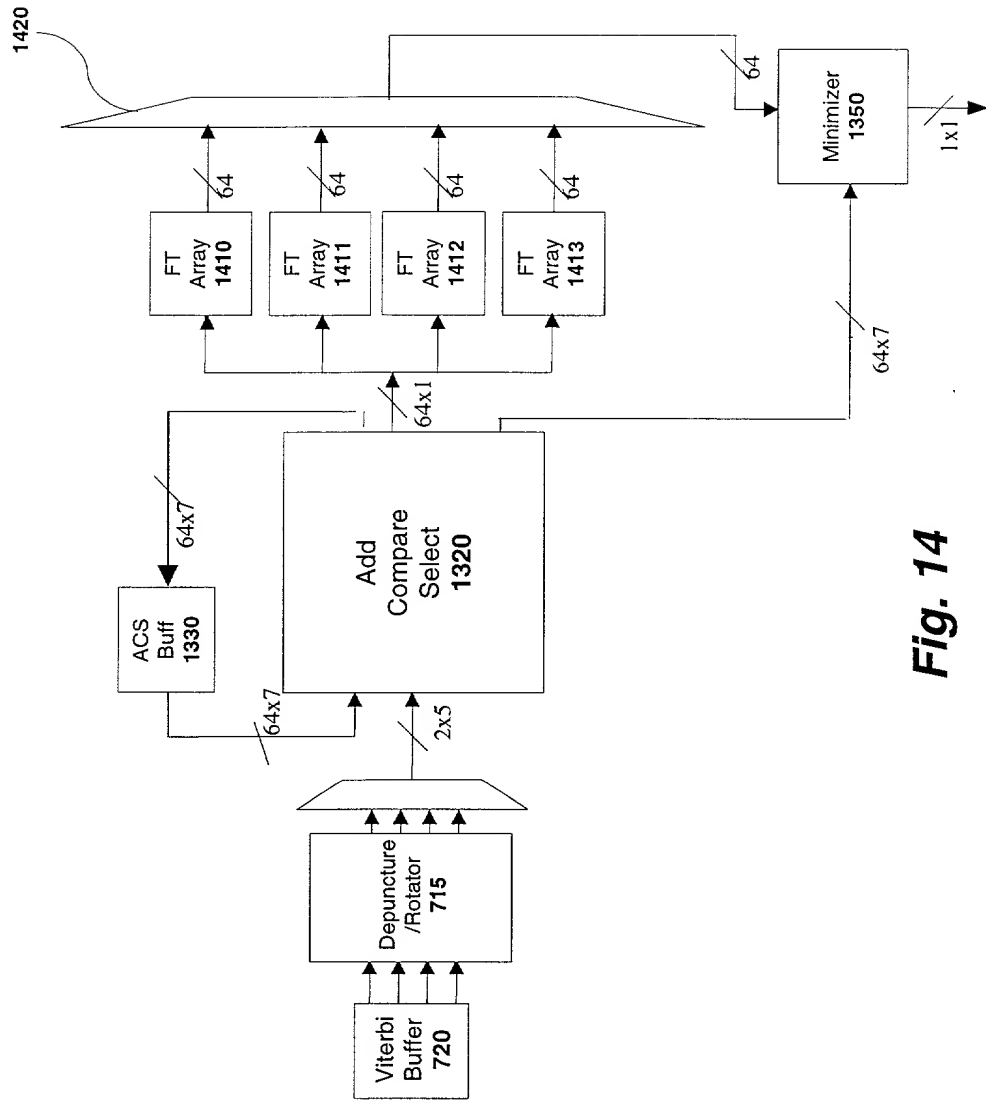


Fig. 14

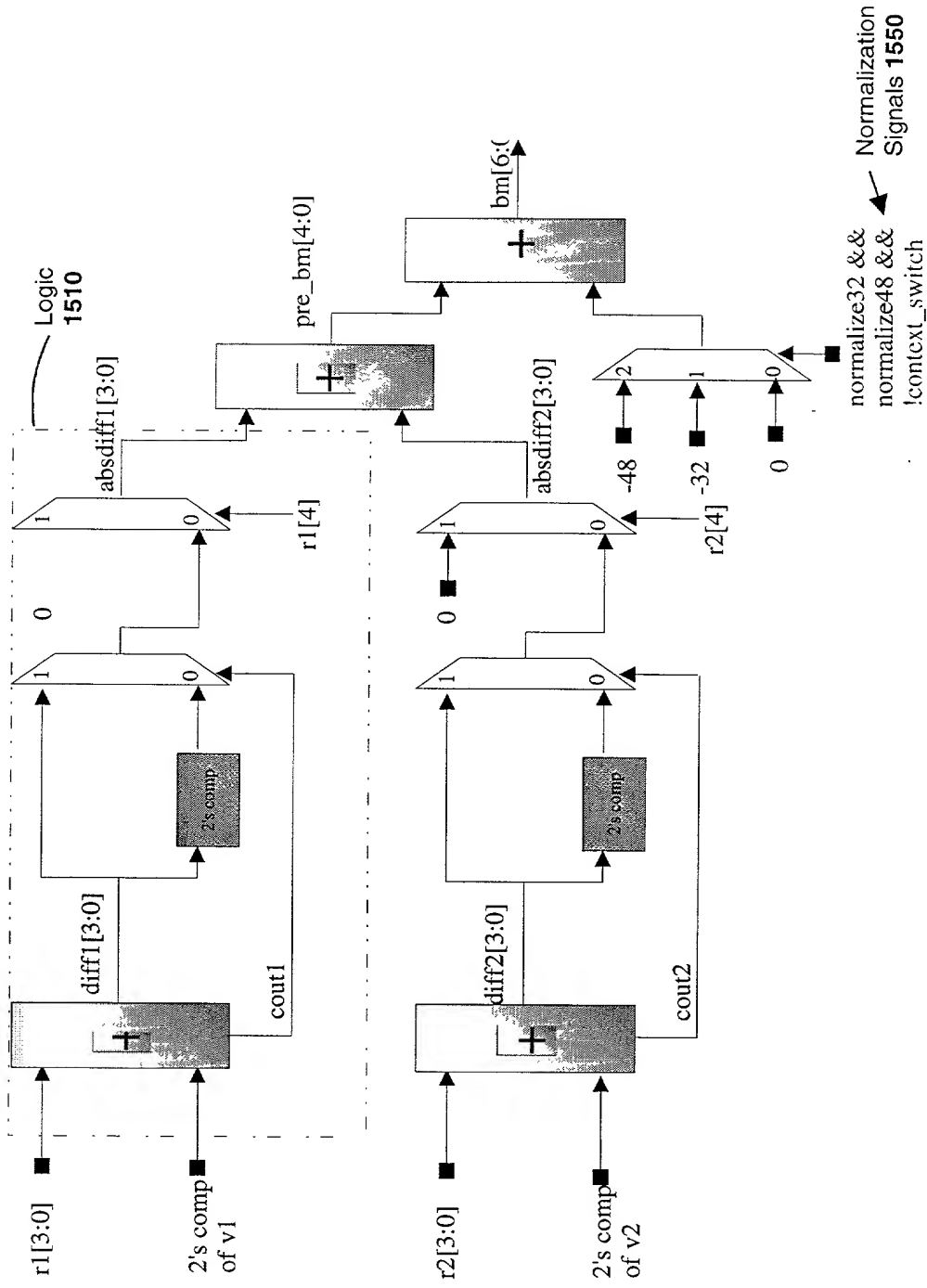


Fig. 15

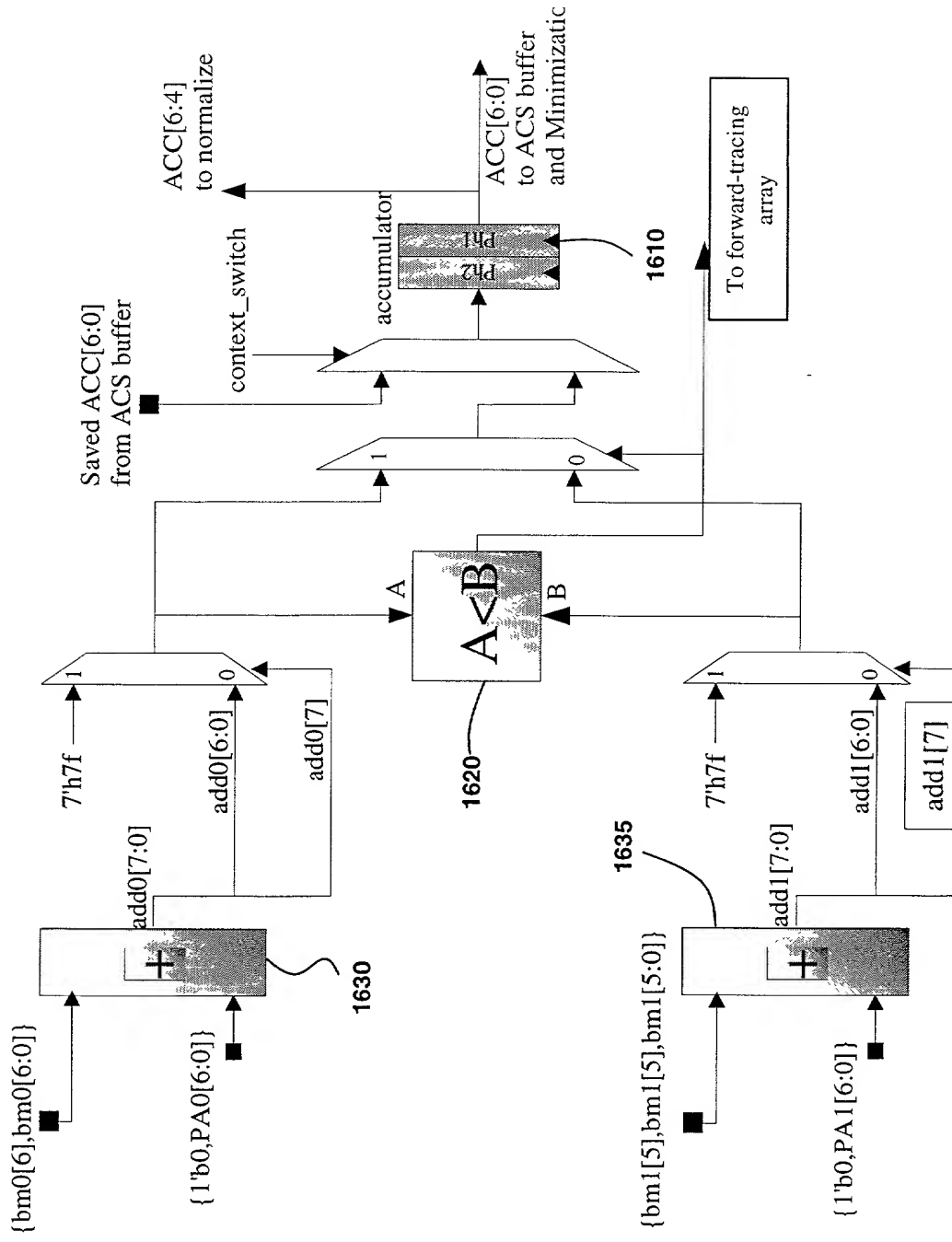


Fig. 16

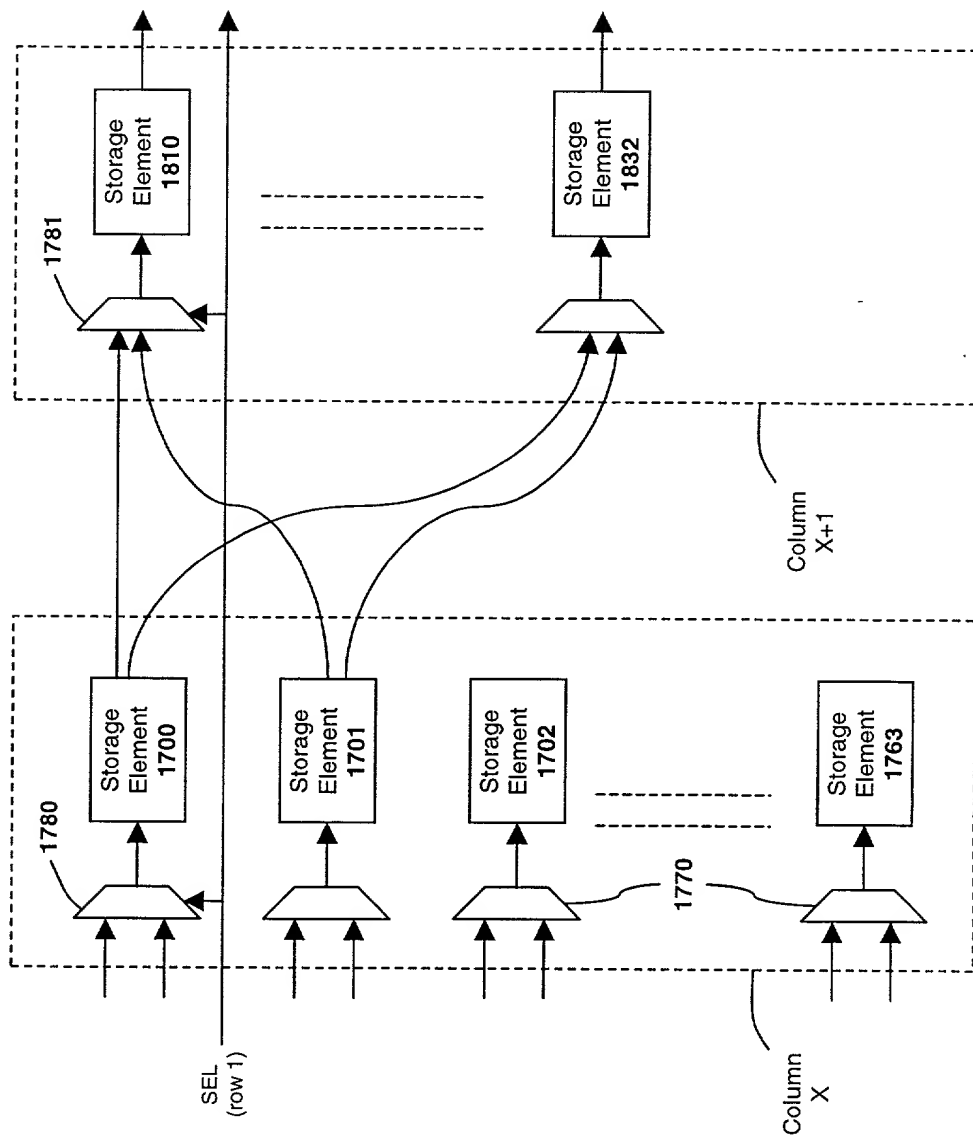


Fig. 17

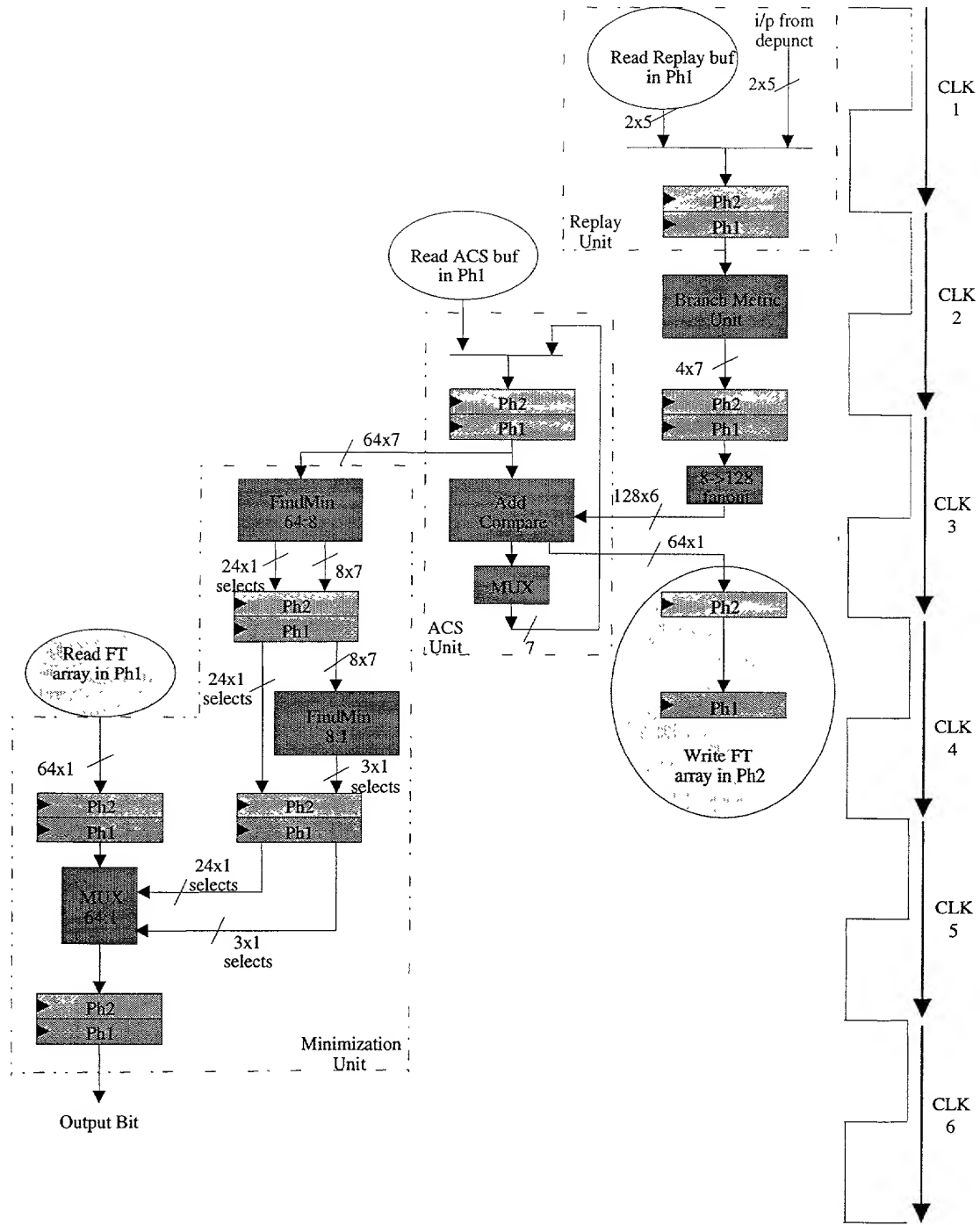


Fig. 18

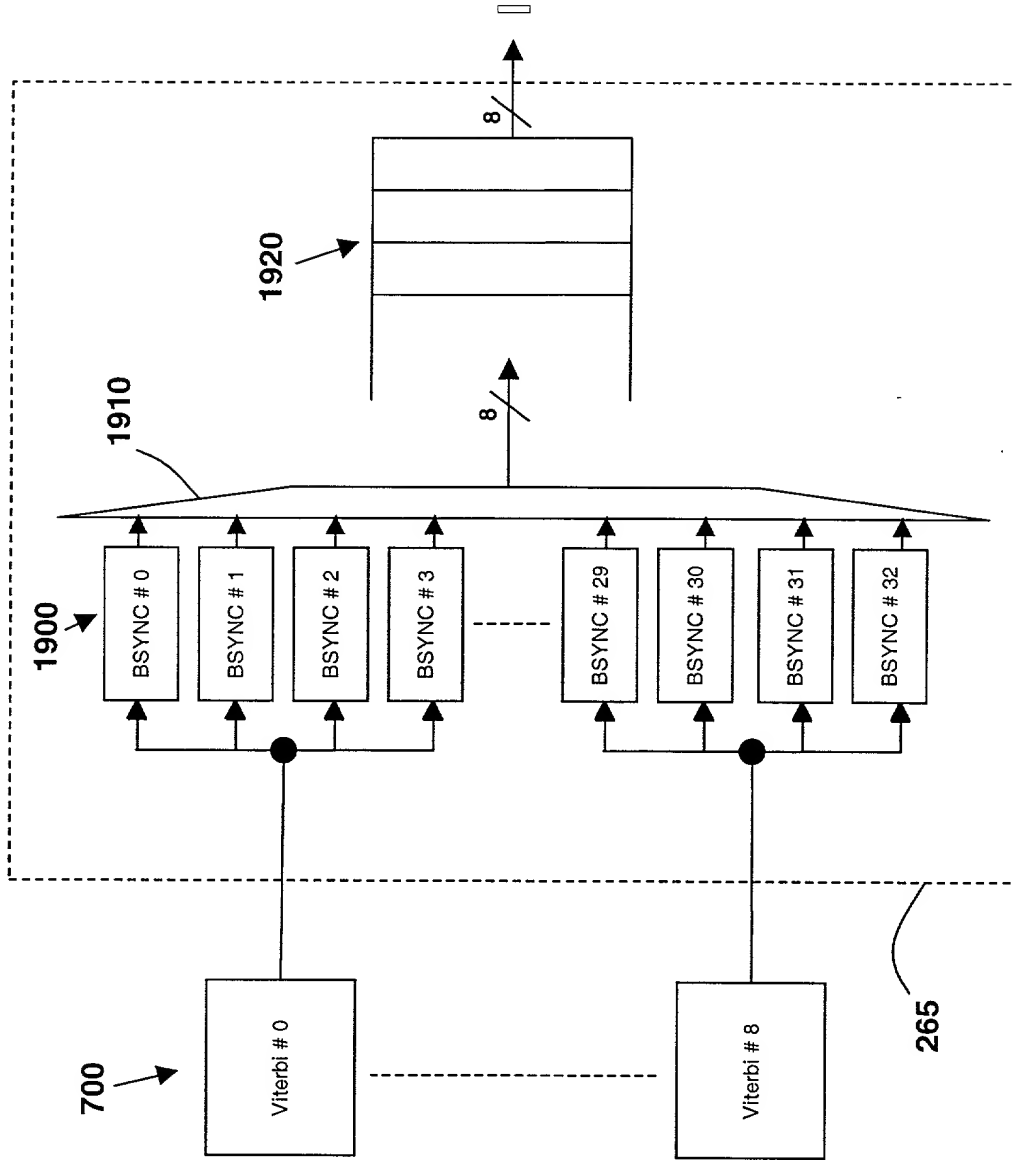
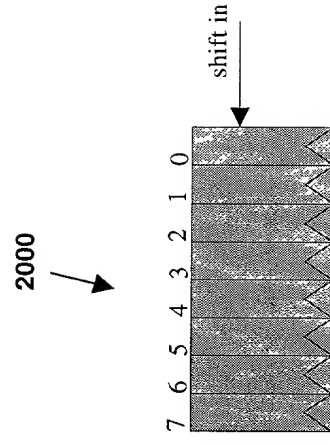


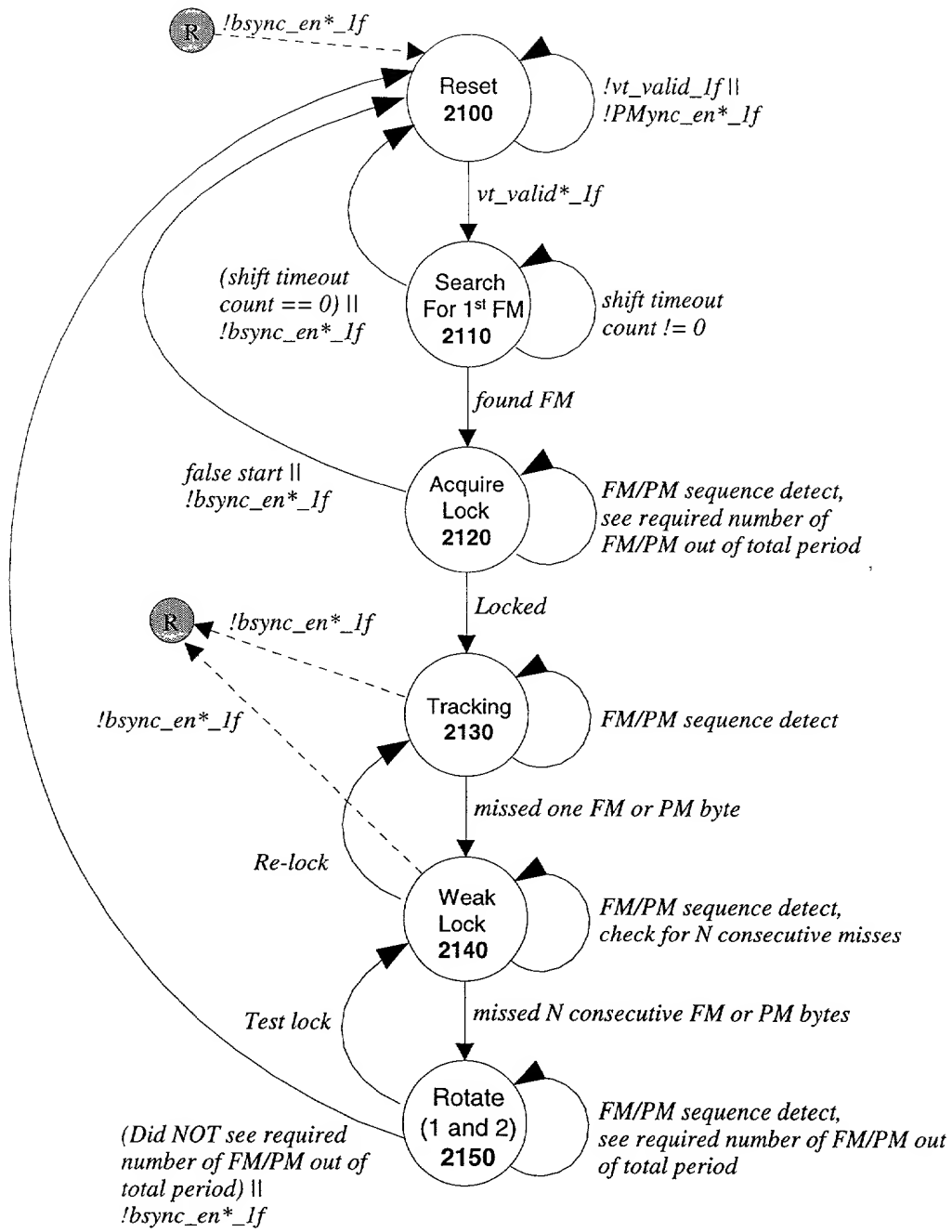
Fig. 19

1.04007 43572650



*Fig. 20*





**Fig. 21**

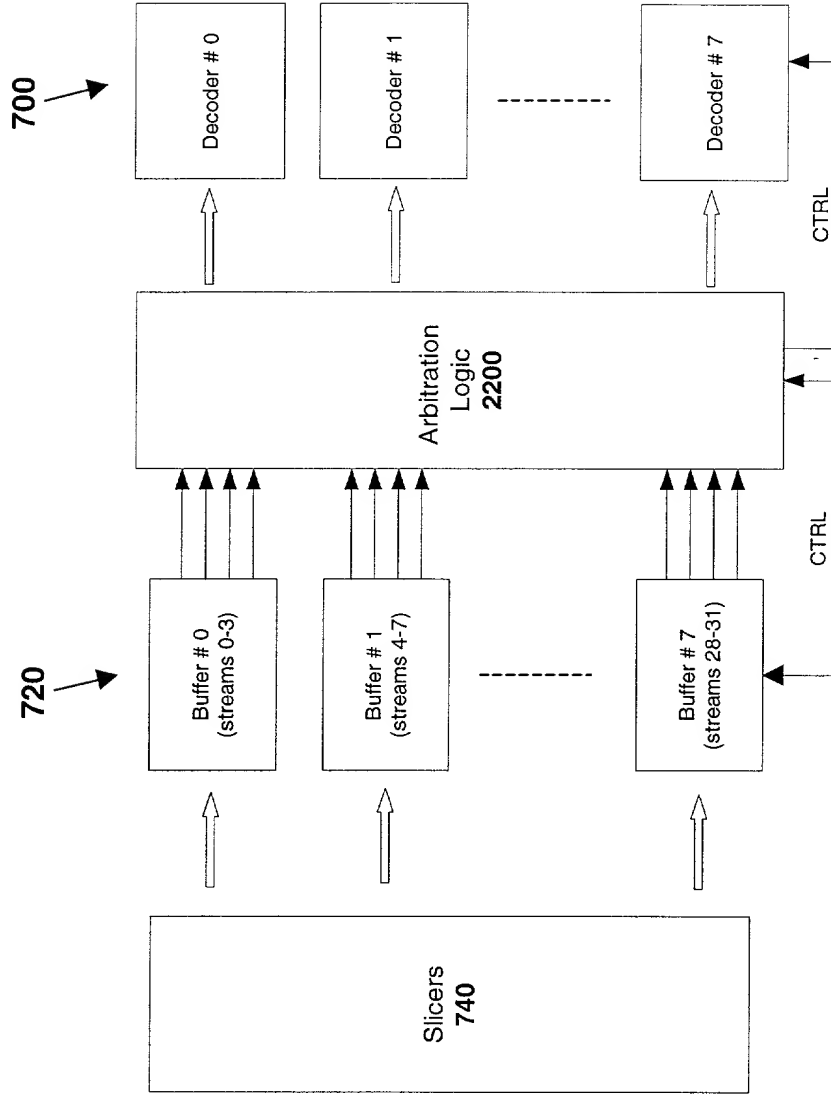


Fig. 22

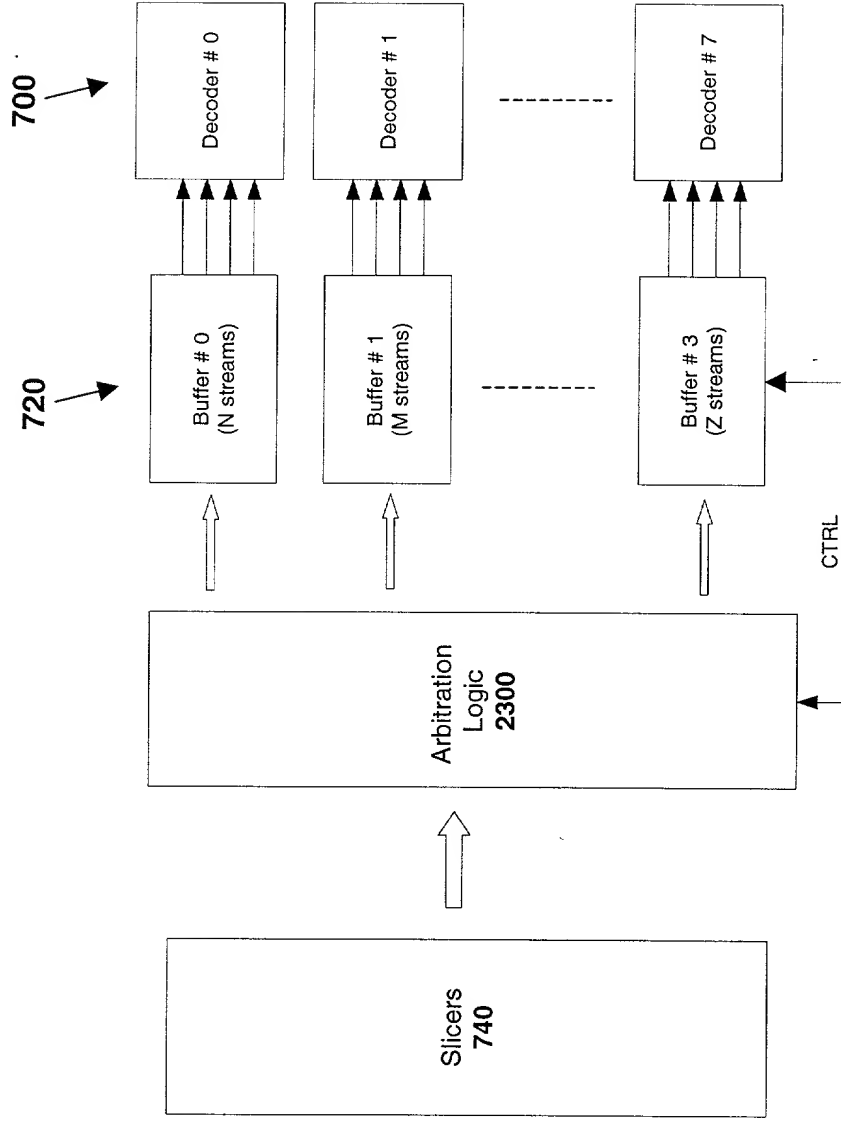


Fig. 23

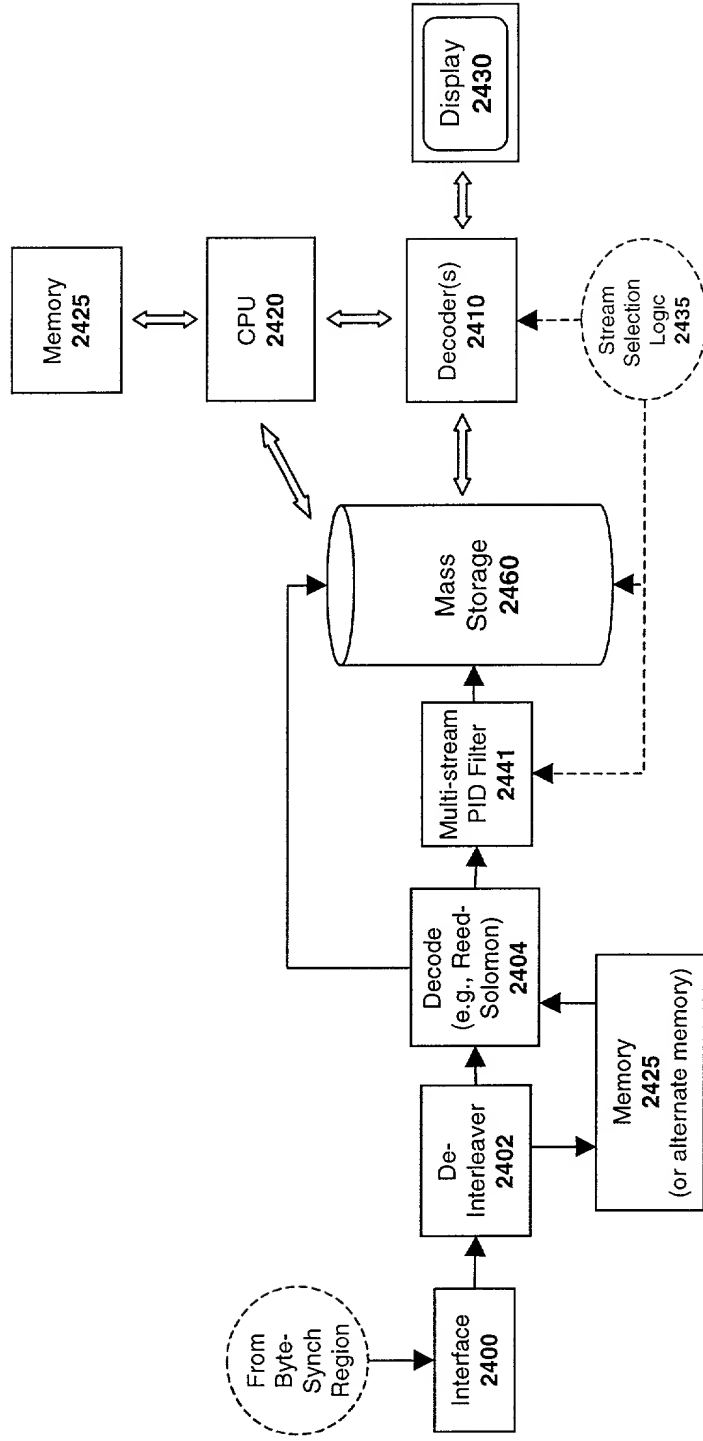


Fig. 24